

d) Radixsort turbinado em C: a Tabela K.4 mostra um ganho aproximado do RadixsortTurbinado de 1,2 em relação ao RadixsortIntEx em C do Programa J.14, e de 1,5 em relação ao Radixsort em C do Programa D.23. Com relação ao Quicksort em C do Programa D.7, o ganho variou de 3,6 para 10.000 chaves a 4,9 para 100.000.000 de chaves.

Tabela K.4 Ordem aleatória dos registros com chaves inteiras de 32 bits

| | 10^4 | 10^5 | 10^6 | 10^7 | 10^8 |
|--------------------|--------|--------|--------|--------|--------|
| RadixsortTurbinado | 1 | 1 | 1 | 1 | 1 |
| RadixsortMelhorado | 1,2 | 1,2 | 1,2 | 1,2 | 1,2 |
| Radixsort | 1,3 | 1,4 | 1,5 | 1,5 | 1,5 |
| Quicksort | 3,6 | 4,2 | 4,2 | 4,3 | 4,9 |

4.25.

A Tabela K.5 apresenta uma comparação entre o RadixsortCar em C do Programa D.25 e o Quicksort em C do Programa D.7. O compilador Gnu C foi usado com a opção de otimização do código compilado.

Tabela K.5 Ordem aleatória dos registros com chaves de 1, 2, 4, 8, 12, 16, 20, 24 e 32 caracteres

| | 1 | 2 | 4 | 8 | 12 | 16 | 20 | 24 | 32 |
|-----------|------|------|---|-----|-----|-----|-----|-----|-----|
| Radixsort | 1 | 1 | 1 | 1 | 1 | 1 | 1,6 | 2,2 | 3,2 |
| Quicksort | 15,2 | 10,3 | 6 | 2,9 | 1,5 | 1,1 | 1 | 1 | 1 |

Capítulo 5

5.1.

a)

| | Sequencial | Binária | Hashing |
|-------------|---------------|-----------------------------|----------------------------------|
| Vantagem | simplicidade | eficiência | eficiência |
| Desvantagem | custo elevado | arranjo deve estar ordenado | não recupera em ordem alfabética |

b)

| | Sequencial | Binária | Hashing |
|------------|------------|-------------|---------|
| Pior caso | $O(n)$ | $O(\log n)$ | $O(n)$ |
| Caso médio | $O(n)$ | $O(\log n)$ | $O(1)$ |

c)

| | Sequencial | Binária | Hashing |
|---------|----------------|----------------|---|
| Memória | boa utilização | boa utilização | $\alpha = \frac{n}{m}$, em geral $\alpha < 80\%$ |

5.2.

a) Podemos representar o problema por uma **árvore binária de pesquisa** completamente balanceada, na qual o número de nós externos é igual a $n + 1$.

Entretanto, o número de nós externos é $\leq 2^h$, onde h corresponde à altura da árvore. Combinando as equações, temos: $n + 1 \leq 2^h$, ou $h \geq \log n + 1$, ou $h = \lceil \log n + 1 \rceil$.

b) Ponto importante: existem $n + 1$ respostas possíveis. A lista deve ser dividida igualmente em duas sublistas. Repetir o processo em uma das sublistas, até que sobre um elemento. Neste ponto mais uma comparação é necessária para decidir se a chave está presente. Logo, o limite inferior é $h = \lceil \log n + 1 \rceil$.

c) Sim, o Programa 5.3.

5.3. Para cada nó, todos os registros com chaves menores do que a chave que rotula o nó estão na subárvore à esquerda e todos os registros com chaves maiores estão na subárvore à direita.

5.8.

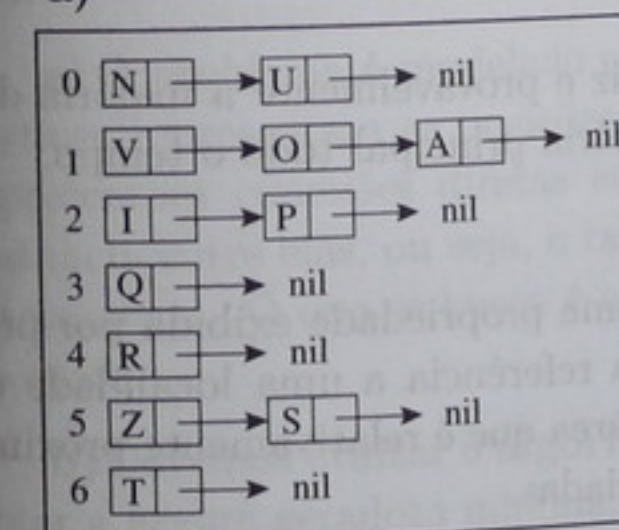
b) O melhor caso ocorre quando os nós estão o mais próximos possíveis da raiz, isto é, quando a árvore binária de pesquisa for uma árvore completa. Neste caso, o número de nós n da árvore será no máximo $2^h - 1$ para a altura (nível) h e no máximo $2^{h-1} - 1$ para a altura $h - 1$. Logo, $2^{h-1} - 1 < n \leq 2^h - 1 \Rightarrow 2^{h-1} < n + 1 \leq 2^h \Rightarrow h - 1 < \log(n + 1) \leq h \Rightarrow h = \lceil \log n + 1 \rceil$.

5.14.

a) A tabela *hash* deve ser utilizada quando o objetivo é ter eficiência nas operações de pesquisa, inserção e remoção, desde que o número de inserções e remoções não provoque variações grandes no valor de n . A tabela *hash* também é indicada quando não há a necessidade de considerar a ordem das chaves e de saber a posição da chave de pesquisa em relação a outras chaves.

5.16. Chaves: N I V O Z A P Q R S T U. Usando $A = 1, B = 2, \dots, Z = 26$.

a)



b)

| | |
|----|---|
| 0 | Z |
| 1 | N |
| 2 | O |
| 3 | A |
| 4 | P |
| 5 | Q |
| 6 | R |
| 7 | S |
| 8 | T |
| 9 | I |
| 10 | V |
| 11 | U |
| 12 | |